

## التوصية 5 ITU-R P.834-5

## آثار الانكسار التروبوسفيري على انتشار الموجات الراديوية

(ITU-R 201/3)

(2005-2003-1999-1997-1994-1992)

إن جمعية الاتصالات الراديوية التابعة للاتحاد الدولي للاتصالات،

إذ تضع في اعتبارها

أ) أنه، للتخطيط الصحيح لوصلات الأرض والوصلات أرض-فضاء، من الضروري توفير إجراءات حساب مناسبة تسمح بتقييم آثار الانكسارية على الإشارات الراديوية؛

ب) أنه تم تطوير إجراءات للسماح بحساب بعض آثار الانتشار الانكساري على الإشارات الراديوية على وصلات الأرض والوصلات أرض-فضاء،

توصي

باستعمال المعلومات المضمنة في الملحق 1 لحساب آثار الانكسار واسع النطاق.

1

## الملاحق 1

## الحناء الأشعة

1

ينبني شعاع راديوي يعبر المنطقة الدنيا (غير المتأينة) للجو بوجود تدرج لمؤشر الانكسار. وعما أن مؤشر الانكسار يتغير أساساً مع الارتفاع، ففي معظم الحالات لا يؤخذ في الاعتبار سوى التدرج العمودي لمؤشر الانكسار. وعندئذ يكون الانحناء عند نقطة ما متضمناً في المستوى العمودي ويُعبر عنه بواسطة:

$$(1) \quad \frac{1}{\rho} = \frac{\cos\varphi}{n} \frac{dn}{dh}$$

حيث:

 $\rho$ : نصف قطر الانحناء مسیر الشعاع $n$ : مؤشر الانكسار الجوي $dn/dh$ : التدرج العمودي لمؤشر الانكسار $h$ : ارتفاع النقطة فوق سطح الأرض $\varphi$ : زاوية مسیر الشعاع مع المستوى الأفقي عند النقطة المدروسة.

يُحدد الانحناء الأشعة على أنه موجب عندما يكون تقريره موجهاً نحو سطح الأرض. ولا تتوقف هذه الظاهرة عملياً على التردد وحده إذا كان تدرج المؤشر لا يتغير بكيفية مهمة على مسافة تساوي طول الموجة.

## 2 نصف قطر الأرض الفعال

إذا كان المسير أفقياً تقريراً، تكون  $\rho$  قريبة من صفر. ولكن، بما أن  $n$  قريبة جداً من 1، فإن المعادلة (1) تُبسط على النحو التالي:

$$(2) \quad \frac{1}{\rho} = - \frac{dn}{dh}$$

لذلك فمن الواضح أنه إذا كان التدرج العمودي ثابتاً، فإن المسيرات تكون أقواس دائرة.

وإذا كان المظهر الجانبي للانكسارية بالاستناد إلى الارتفاع خطياً، أي تدرج الانكسارية ثابت على طول مسير الشعاع، يمكن حدوث تحول يسمح باعتبار الانتشار مستقيماً. ويشكل التحول دراسة أرض افتراضية ذات نصف قطر فعال  $a = R_e k$ ، معبراً عنه بواسطة:

$$(3) \quad \frac{1}{ka} = \frac{1}{a} + \frac{dn}{dh} = \frac{1}{R_e}$$

حيث  $a$  تدل على نصف قطر الأرض الحقيقي، وحيث  $k$  هو عامل نصف قطر الأرض الفعال (عامل  $k$ ). ومع هذا التحول الهندسي، تكون مسارات الشعاع خطية بمعزل عن زاوية الارتفاع.

وبدرجة أكبر من الدقة، لا يكون تدرج الانكسارية ثابتاً إلا إذا كان المسير أفقياً. وفي الواقع العملي يمكن أن يمثل النموذج الأسني للمظهر الجانبي لمؤشر الانكسار الوسطي (انظر التوصية رقم ITU-R P.453) - بالنسبة لارتفاعات التي تقل عن 1 000 متر - بشكل تقربي عن طريق نموذج خطى. ويكون العامل  $k$  ذو العلاقة هو  $k = 4/3$ .

## 3 مؤشر الانكسار المعدل

بالنسبة لبعض التطبيقات، مثلاً فيما يخص ترسيم الشعاع، يستعمل مؤشر انكسار معدل أو وحدة انكسار معروفة في التوصية ITU-R P.310. وتعطى وحدة الانكسار  $M$  بواسطة:

$$(4) \quad M = N + \frac{h}{a}$$

مع كون  $h$  ارتفاع النقطة المعنية معبراً عنه بالأمتار و  $a$  نصف قطر الأرض معبراً عنه بآلاف الكيلومترات. ويسمح هذا التحويل بالرجوع إلى الانتشار فوق سطح أرض منبسطة يعلوها جو تعادل انكساريتها فيه ووحدة الانكسار  $M$ .

## 4 زاوية نقطة التسديد الظاهرة على المسيرات المائلة

### 4.1 مدخل

في دراسات التقاسم، من الضروري تقييم زاوية الارتفاع الظاهرة لمحطة فضائية تأخذ الانكسار الجوي في الحسبان. وتعطى فيما يلي طريقة حساب مناسبة.

### 4.2 رؤية المخطة الفضائية

كما هو موصوف في الفقرة 1 أعلاه، فإن حزمة راديوية مرسلة من محطة على سطح الأرض (ارتفاع  $h$  km) وزاوية ارتفاع  $\theta$  (بالدرجات) تُحنى نحو الأرض نظراً لأثر الانكسار الجوي. ويمكن تقييم تصحيح الانكسار،  $\alpha$  (بالدرجات)، بواسطة التكامل التالي:

$$(5) \quad \tau = - \int_h^\infty \frac{n'(x)}{n(x) \cdot \tan\varphi} dx$$

حيث تحدد  $\varphi$  على النحو التالي على أساس قانون سنيل بإحداثيات قطبية:

$$(6) \quad \cos\varphi = \frac{c}{(r + x) \cdot n(x)}$$

$$(7) \quad c = (r + h) \cdot n(h) \cdot \cos\theta$$

:  $r$  نصف قطر الأرض (km 6 370)

:  $x$  الارتفاع (km).

وبما أن اخناء الشعاع يتوقف إلى حد كبير على الجزء المحدد بواسطة الجزء الأدنى للنحو، يمكن حساب مؤشر الانكسار لجو نظري عند ارتفاع  $x$  انطلاقاً من المعاملات التالية:

$$(8) \quad n(x) = 1 + a \cdot \exp(-bx)$$

حيث:

$$0,000315 = a$$

$$.0,1361 = b$$

ويقوم هذا النموذج على النموذج الجوي الأسّي المعروف في التوصية ITU-R P.453 لانتشار الأرض. وإضافة إلى ذلك فإن  $n'(x)$  هي مشتقة من  $n(x)$ , أي  $(n'(x)) = -a b \exp(-bx)$ .

وقد تم تقييم  $\tau(h, \theta)$  بالدرجات بافتراض الجو المرجعي؛ ويبدو أن الصيغة الرقمية التالية تعطي تقريراً جيداً:

$$(9) \quad \tau(h, \theta) = 1/[1.314 + 0.6437 \theta + 0.02869 \theta^2 + h(0.2305 + 0.09428 \theta + 0.01096 \theta^2) + 0.008583 h^2]$$

وتم الحصول على هذا التقرير من أجل  $(\theta_m \leq \theta \leq 10^\circ)$  و  $(0 \leq h \leq 3 \text{ km})$ , حيث  $\theta_m$  الزاوية التي تُعرض فقط عندها الحزمة الراديوية بواسطة سطح الأرض، وتعطى بواسطة:

$$(10) \quad \theta_m = -\arccos \left( \frac{r}{r+h} \cdot \frac{n(0)}{n(h)} \right)$$

أو، بالتقريب،  $\theta_m = -0,875 \sqrt{h}$  (بالدرجات).

وتعطى المعادلة (9) كذلك تقريراً معقولاً من أجل  $(90^\circ \leq \theta < 10^\circ)$ .

ولتكن  $\theta_0$  (بالدرجات) هي زاوية ارتفاع محطة فضائية في ظروف الانتشار في الفضاء الحر ولتكن  $\theta_m$  زاوية الارتفاع الدنيا لحظة عند سطح الأرض لا يعرض فيها سطح الأرض لحزمتها الراديوية. ويكون حد تصحيح الانكسار المقابل لـ  $\theta_m$  هو  $(h, \theta_m)$   $\tau$ . وبذل لا تكون المحطة الفضائية مرئية إلا عندما يكون عدم التساوي التالي صحيحاً:

$$(11) \quad \theta_m - \tau(h, \theta_m) \leq \theta_0$$

### 3.4 تقييم زاوية الارتفاع الظاهرية

عندما يكون عدم التساوي (11) صحيحاً، يمكن حساب زاوية الارتفاع الظاهرية،  $\theta$  (بالدرجات)، التي تأخذ الانكسار الجوي في الاعتبار، مع حل المعادلة التالية:

$$(12) \quad \theta - \tau(h, \theta) = \theta_0$$

وحل المعادلة (12) تُعطى بواسطة:

$$(13) \quad \theta = \theta_0 + \tau_s(h, \theta_0)$$

حيث قيم  $(h, \theta_0)$  شبيهة بقيم  $(h, \theta)$ ، لكن يُعبر عنها كدالة لـ  $\theta_0$ .  
وتعطى الصيغة الرقمية التالية تقريرًا جيداً للدالة  $\tau_s(h, \theta_0)$  (بالدرجات):

$$(14) \quad \begin{aligned} \tau_s(h, \theta_0) = & 1/[1.728 + 0.5411 \theta_0 + 0.03723 \theta_0^2 + h(0.1815 + 0.06272 \theta_0 \\ & + 0.01380 \theta_0^2) + h^2(0.01727 + 0.008288 \theta_0)] \end{aligned}$$

وقيمة  $\theta$  المحسوبة بواسطة المعادلة (13) هي زاوية الارتفاع الظاهرة.

#### 4.4 تلخيص الحسابات

- المرحلة 1: زاوية ارتفاع محطة فضائية في ظروف الانتشار في الفضاء الحر يُشار إليها بواسطة  $\theta_0$ .
- المرحلة 2: باستعمال المعادلين (9) و(10)، نتفحص ما إذا كان عدم التساوي (11) صحيحاً. وإذا لم يكن الأمر كذلك، فإن الساتل ليس مرئياً وينتزع عن ذلك عدم ضرورة أي حساب آخر.
- المرحلة 3: إذا كان عدم التساوي (11) صحيحاً، نحسب  $\theta$  بواسطة المعادلين (13) و(14).

#### 5.4 النتائج المقيسة لزاوية التسديد الظاهرة

يقدم الجدول 1 قيماً متوسطة للانحراف الزاوي للانتشار عبر الجو بكامله. ويعطي تلخيصاً للمعطيات التجريبية الحصول عليها بواسطة تقنيات الرادار وبواسطة مقياس إشعاع تلسكوب راديو. ونلاحظ تقلبات لزاوية الارتفاع الظاهرة بسبب التغيرات المحلية لبنية مؤشر الانكسار.

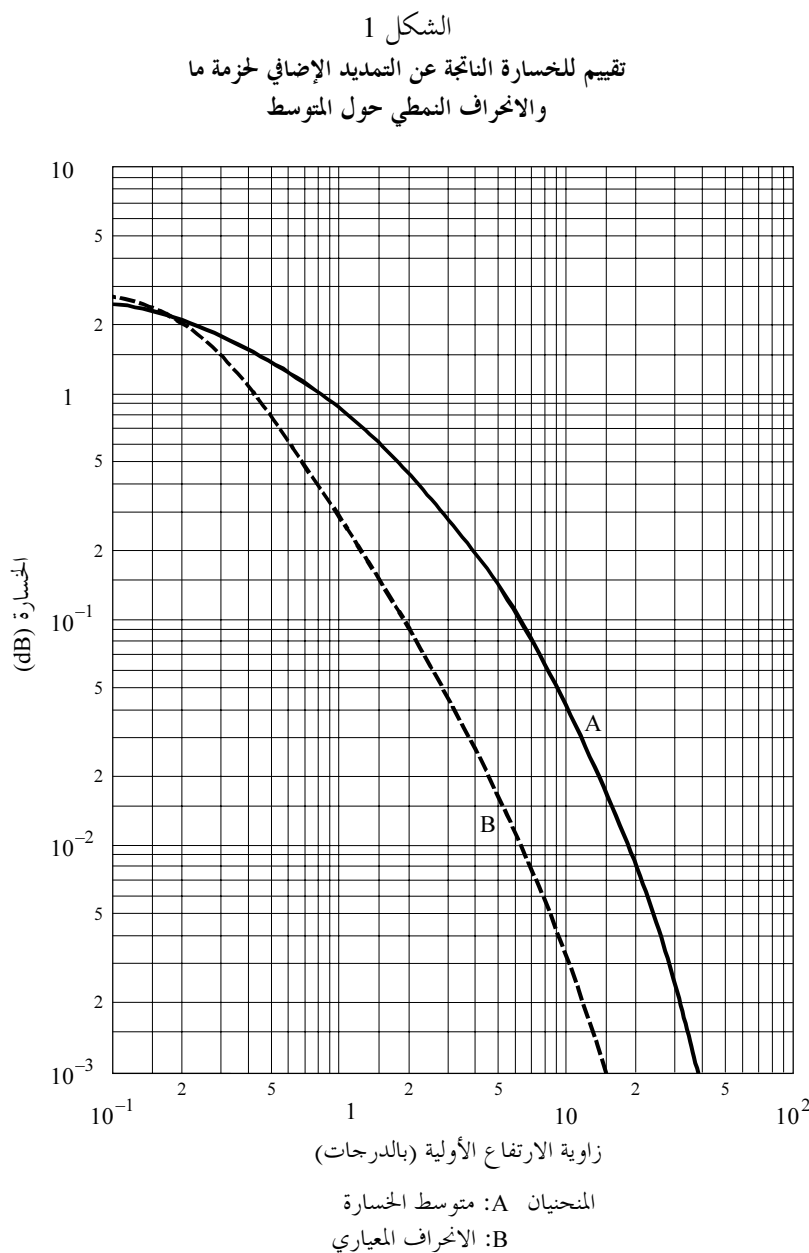
الجدول 1

قيم الانحراف الزاوي للانتشار عبر الجو بكامله

زاوية الارتفاع، $\theta$ (بالدرجات)	متوسط الانحراف الزاوي الإجمالي، $\Delta\theta$ (بالدرجات)			
هواء بحرى استوائي	هواء بحرى معتدل	هواء قارى معتدل	هواء قارى قطبي	
0,65	–	–	0,45	1
0,47	0,38	0,36	0,32	2
0,27	0,26	0,25	0,21	4
0,14	0,12	0,11	0,10	10
	0,06	0,05		20
		0,04	0,03	30
التغيرات اليومية لـ $\Delta\theta$ (للعمودين 1 و 4 فقط)				
جذر متوسط التربع				1
جذر متوسط التربع				10

#### 5 تدید الخزنة على مسیرات مائلة

يمكن أن تنتج خسارة الإشارة كذلك عن تدید إضافي لخزنة الهوائي يسببه تغير الانكسار الجوي بدالة زاوية الارتفاع. ويجب أن تكون هذه الظاهرة قابلة للإهمال بمجرد أن تتجاوز زاوية الارتفاع  $3^\circ$ . ويوضح الشكل 1 الخسائر الناجمة عن آثار الانكسار الجوي، عبر الجو بكامله. ويجب أن تكون الخسائر مستقلة عن التردد في المدى 1 إلى 100 GHz حيث بخار الماء أحد عوامل المظاهر الجانبي للانكسار.



0834-01

## 6 طول المسير الراديوi الفعال وتغيراته

بما أن مؤشر الانكسار التروبوسفيري أعلى من 1 ويتوقف على الارتفاع، فإن طول المسير الراديوi لموجة تنتشر بين الأرض وسائل ما يكون أكبر من طول المسير الهندسي. ويعطى فارق الطول بواسطة التكامل التالي:

$$(15) \quad \Delta L = \int_A^B (n - 1) ds$$

حيث:

$s$ : الطول على مدى المسير

$n$ : مؤشر الانكسار

$A$  و  $B$ : طرفا المسير.

ولا يمكن استعمال المعادلة (15) إلا إذا كان تغير مؤشر الانكسار  $n$  على طول المسير معروفاً.

عندما تكون درجة الحرارة  $T$  والضغط الجوي  $P$  والرطوبة النسبية  $H$  عند سوية الأرض معروفة، فإننا نحسب فارق طول المسير  $\Delta L$  حسب الطريقة شبه التجريبية المعبر عنها فيما يلي، والتي وُضعت انتلاقاً من المنحنيات المحصل عليها بواسطة السر الراديوسي الجوي خلال حملة قياسات عام واحد أُجريت في 500 محطة أرصاد جوية في 1979. في هذه الطريقة، تكون العبارة العامة لفارق طول المسير  $\Delta L$  هي:

$$(16) \quad \Delta L = \frac{\Delta L_V}{\sin \phi_0 (1 + k \cot^2 \phi_0)^{1/2}} + \delta(\phi_0, \Delta L_V)$$

حيث:

$\phi_0$ : زاوية الارتفاع عند نقطة الرصد

$\Delta L_V$ : فارق طول المسير العمودي

$\delta(\phi_0, \Delta L_V)$ : المعلمات التصحيحية التي يستعمل لحسابها النموذج الجوي الأسّي.

ويأخذ العامل  $k$  في الحساب تغير زاوية الارتفاع على طول المسير. ويعبر الحد  $(\phi_0, \Delta L_V)$   $\delta$  عن آثار الانكسار (المسير ليس خطأً مستقيماً). ويكون هذا الحد دائماً صغيراً جدًا، ما عدا عند زاوية الارتفاع المنخفضة جداً ويهمل في الحساب؛ وهو ينطوي على خطأً فقط لزاوية  $\phi_0$  ذات  $0,1 \text{ mm}$  لزاوية  $0^\circ$  ذات  $45^\circ$ . ونلاحظ من جانب آخر أنه عند زوايا ارتفاع صغيرة جداً لا تكون المعلمة  $\delta$  بالنسبة لها قابلة للإهمال، فإن فرضية هو مستو في طبقات، يشكل أساس كل طرائق حساب فارق طول المسير، لا تبقى مقبولة.

يُعطى فارق طول المسير العمودي ( $m$ ) بواسطة المعادلة التالية:

$$(17) \quad \Delta L_V = 0,00227 P + f(T) H$$

في الحد الأول من الجزء الأيمن من المعادلة (17)،  $P$  هي الضغط الجوي (hPa) عند نقطة الرصد.

في الحد الثاني ذي الطبيعة التجريبية،  $H$  هي الرطوبة النسبية (%); تُعطى دالة درجة الحرارة ( $f(T)$ )، التي تتوقف على الموقع الجغرافي، بواسطة المعادلة التالية:

$$(18) \quad f(T) = a 10^{bT}$$

حيث:

$T$  يُعبر عنها بواسطة  ${}^\circ\text{C}$

$a$  يُعبر عنها بواسطة  $\text{m}/\%$  للرطوبة النسبية

$b$  يُعبر عنها بواسطة  ${}^\circ\text{C}^{-1}$ .

وتحل في الجدول 2 المعلمتان  $a$  و  $b$  اللتان تتوقفان على الموقع الجغرافي.

الجدول 2

$b$ ( ${}^\circ\text{C}^{-1}$ )	$a$ ( $\text{m}/\%$ )	الموقع
$2,91 \times 10^{-2}$	$5,5 \times 10^{-4}$	مناطق ساحلية (جزر أو أماكن تقع على أقل من $10 \text{ km}$ من الساحل)
$2,73 \times 10^{-2}$	$6,5 \times 10^{-4}$	مناطق استوائية غير ساحلية
$2,35 \times 10^{-2}$	$7,3 \times 10^{-4}$	كل المناطق الأخرى

لحساب العامل التصحيحي  $k$  للمعادلة (16)، نفترض تغيراً أسيّاً بارتفاع  $h$  للانكسارية الجوية  $N$ :

$$(19) \quad N(h) = N_s \exp(-h/h_0)$$

حيث  $N_s$  هي متوسطة قيمة الانكسارية عند سطح الأرض (انظر الترصية 3.453 ITU-R P.453) و  $h_0$  يعطى بواسطة:

$$(20) \quad h_0 = 10^6 \frac{\Delta L_V}{N_s}$$

عندما تُحسب  $k$  من العبارة التالية:

$$(21) \quad k = 1 - \left[ \frac{n_s r_s}{n(h_0) r(h_0)} \right]^2$$

حيث  $n_s$  و  $n(h_0)$  هما قيمتا مؤشر الانكسار عند سطح الأرض و عند الارتفاع  $h_0$  (المعطاة بواسطة المعادلة (20)) على التوالي، و  $r_s$  و  $r(h_0)$  هما المسافتان المقابلتان لمركز الأرض.

بالنسبة للمسيرات أرض-ساتل مع زاوية ارتفاع  $\theta$  أكبر من  $10^\circ$ ، يمكن التعبير عن فارق الطول الناتج عن الآثار التروبوسفيرية (m) على أنه مجموع "حد جاف" و "حد رطب":

$$(22) \quad \Delta L = \Delta L_{dry} + \Delta L_{wet} = 10^{-6} \frac{R_d}{g_m} \left\{ k_1 \cdot p_s + \frac{k_2}{(\lambda+1)} \cdot \frac{e_s}{T_{ms}} \right\} \cdot \frac{1}{\sin \theta} \quad (\text{m})$$

حيث:

$$\text{الضغط الكامل للهواء وضغط بخار الماء على سطح الأرض (hPa)} = e_s \cdot p_s$$

$$\text{متوسط درجة حرارة بخار الماء على السطح (K)} = T_{ms}$$

$$\text{عامل انخفاض ضغط البخار} = \lambda$$

$$(\text{J/kg K}) 287,0 = R/M_d = R_d$$

$$\text{الثابت الجزيئي الغرامي للغاز} = 8,314 = R$$

$$(\text{g/mol}) 28,9644 = \text{الكتلة الجزيئية الغرامية للهواء الجاف} = M_d$$

$$(\text{K/hPa}) 77,604 = k_1$$

$$(\text{K}^2/\text{hPa}) 377600 = k_2$$

$$(\text{m/s}^2) g_m = g(lat, h_s) = 9,784 \cdot (1 - 0,00266 \cdot \cos(2 \cdot lat) - 0,00028 \cdot h_s) = \text{تسارع الجاذبية}$$

$$\text{خط العرض (بالدرجات)} = lat$$

$$\text{ارتفاع المكان فوق سطح البحر (km)} = h_s$$

وبالنسبة للمستقبلات الواقعة على ارتفاع أعلى من متوسط مستوى البحر  $h$  (km) مختلف عن ارتفاع السطح  $h_s$ ، يمكن استقراء قيم معلمات الأرصاد الجوية من قيم السطح،  $T_{ms}$  و  $e_s$  و  $p_s$  عن طريق استخدام المعادلات التالية:

$$(23a) \quad \Delta L(h) = \Delta L_{dry}(h) + \Delta L_{wet}(h) = 10^{-6} \frac{R_d}{g_m(h)} \left\{ k_1 \cdot p(h) + \frac{k_2}{(\lambda+1)} \cdot \frac{e(h)}{T_m(h)} \right\} \cdot \frac{1}{\sin \theta} \quad (\text{m})$$

$$(23b) \quad T_m(h) = T_{ms} - \alpha_m \cdot (h - h_s) \quad (\text{K})$$

$$(23c) \quad p(h) = p_s \left[ 1 - \frac{\alpha(h - h_s)}{T_s} \right]^{\frac{g_m}{R'_d \alpha}} \quad (\text{hPa})$$

$$(23d) \quad e(h) = e_s \cdot \left[ \frac{p(h)}{p_s} \right]^{\lambda+1} \quad (\text{hPa})$$

حيث:

معدل هبوط متوسط درجة حرارة بخار الماء (K/km).  $= \alpha_m$

$$(23e) \quad \alpha \equiv 0.5 \frac{(\lambda+1)g_m}{R'_d} \left[ 1 - \sqrt{\frac{(\lambda+1)g_m}{R'_d} \left[ \frac{(\lambda+1)g_m}{R'_d} - 4\alpha_m \right]} \right]$$

$$(23f) \quad R'_d = R_d / 1000 = 0,287 \quad (\text{J/g K})$$

$$(23g) \quad T_s = \frac{T_{ms}}{1 - \frac{\alpha R'_d}{(\lambda+1)g_m}} \quad (\text{K})$$

ويمكن استخراج دخل النموذج من خلال الافتراض بأن معلمات الأرصاد الجوية تتميز بتقلب موسمي.

$$(24) \quad X_i(D_y) = a1_i - a2_i \cos \left[ 2\pi \frac{(D_y - a3_i)}{365,25} \right]$$

حيث:

$$\begin{aligned} \alpha m \text{ أو } \lambda, T_{ms}, e_s, p_s &= X_i \\ \text{القيمة الوسطية للمعلمة} &= a1_i \\ \text{التقلب الموسمي للمعلمة} &= a2_i \\ \text{يوم من القيمة الدنيا للمعلمة} &= a3_i \\ \text{يوم من السنة (1 ... 365,25}} &= D_y \\ 1 \text{ يناير، } 32 &= 1 \text{ فبراير، } 60,25 = 1 \text{ مارس.} \end{aligned}$$

وقد حُسِّنَت المعلمات  $a1$  و  $a2$  و  $a3$  من خلال مواءمة النموذج التواقي مع الإحصاءات الشهرية لمعلمات الأرصاد الجوية المأخوذة من قاعدة المعطيات ECMWF ERA15.

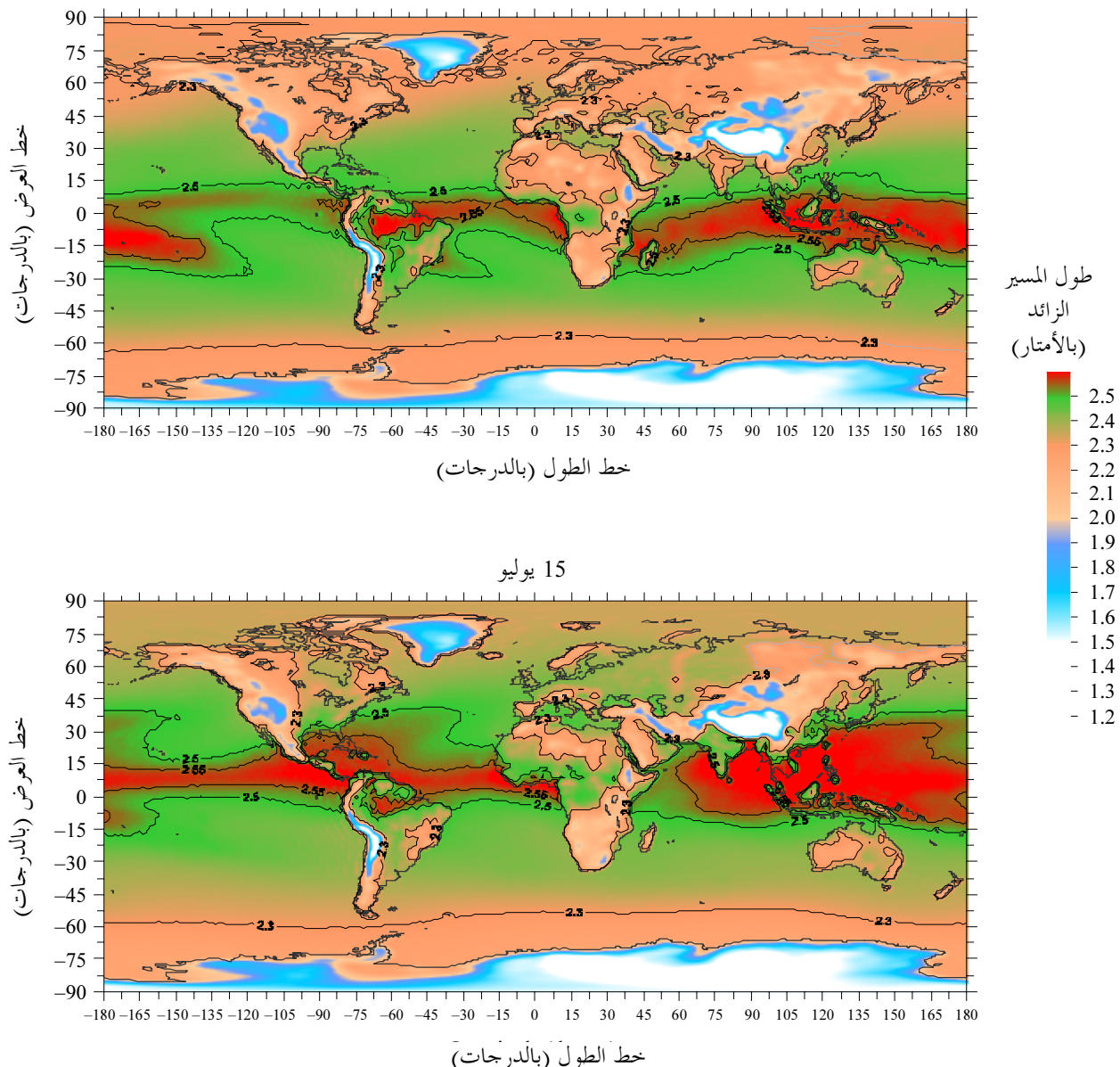
وتوجد قيم معلمات هذا النموذج التواقي  $a1$  و  $a2$  و  $a3$  لكل معلمة أرصاد جوية في خرائط رقمية يصل مجموعها إلى 15 خريطة مع استبابة بقيمة  $1,5 \times 1,5$  (بالدرجات). وتوجد معلمات النموذج التواقي في ملفات تسمى `<met_param>_<mod_par>.dat`. حيث `<met_param>` هي `tmpm` أو `alfm` أو `lamd`، `<mod_par>` هي `a1` أو `a2` أو `a3`. والمعطيات هي من 0 إلى 360 طولانياً ومن 90+ إلى -90 عرضانياً مع استبابة بقيمة 1,5° طولانياً وعرضانياً على حد سواء. والإضافات التي تلزم في هذا النموذج هي: `lat.dat` = قيم خط العرض المرجعية (90° ... -90°) و `long.dat` = قيم خط الطول المرجعية (0° ... 360°) و `hreflev.dat` = متوسط ارتفاع المستوى المرجعي فيما يتصل بمستوى البحر (m).

وبالنسبة لمستقبل موجودٍ في موقع مختلف عن نقاط الشبكة يجب أن تحسب الزيادة في طول المسير عن طريق أداء استكمال ثانوي الخط لطول مسیر الزيادة عند نقاط الشبكة الأربع الأكثر قرباً والمقدرة من خلال استخدام نفس ارتفاع المستقبل.

وقد احتبرت دقة النموذج المقترن عن طريق استخدام المسبار الراديوي وقياسات النظام العالمي لتحديد الواقع (GPS) وكانت النتيجة أنه ضمن 2 و 6 سنتيمترات على نطاق العالم. وإذا كانت هناك حاجة إلى دقة أكبر، فإنه يمكن استخدام قياسات محلية متوقعة للضغط الكامل للهواء وضغط بخار الماء كمدخل للنموذج.

الشكل 2

خريطتان تظهران متوسط زيادة تأثر انتشار المسير عن المستوى المرجعي في شهرى يناير ويوليو  
15 يناير



ملاحظة 1 – تتوفر الإجراءات Maltab التي تطبق على النموذج الذي تصفه مجموعة معطيات المعادلات من (22) إلى (24) في موقع قطاع الاتصالات الراديوية الإلكتروني المعنى بأعمال لجنة الدراسات 3 للاتصالات الراديوية.

03/31-02  
(188443)

## الانتشار عبر المخاري

7

هناك مخارٍ كلما كان التدرج العمودي للانكسارية عند ارتفاع وموقع معينين أصغر من  $-157 \text{ N/km}$ .

إن وجود المخاري مهم لأن يمكن أن يسبب انتشاراً راديوياً غير عادي، خاصة على وصلات أرض أو وصلات أرض-فضاء مع زاوية ارتفاع ضعيفة جداً. تشكل المخاري آلية تسمح للإشارات الراديوية ذات ترددات عالية بما يكفي بالانتشار بعيداً جداً ما وراء مسافة

خط البصر العادية، ومن ثم خطر التداخل مع خدمات أخرى (انظر التوصية P.452 ITU-R). وهي تلعب فيما عدا ذلك دوراً مهمًا في ظواهر التداخل عبر مسارات متعددة (انظر التوصية P.530 ITU-R) ولو كان وجودها لا يكفي أو غير كافٍ للاحظة ظواهر الانبعاث عبر مسارات متعددة على وصلة معينة.

### 2.7 تأثير زاوية الارتفاع

عندما يكون هوائي إرسال يقع داخل مجاري راديوسي ذي طبقات أفقية، فإن الأشعة المرسلة عند زوايا ارتفاع ضعيفة جداً يمكن أن "تحبس" داخل المجرى. في الحالة البسيطة لمظهر جانبي انكساري "عادي" فوق مجاري سطحية ذي تدرج انكساري ثابت، فإن زاوية الارتفاع الحرجية  $\alpha$  (rad) لكي تحبس الأشعة، تُعطى بواسطة المعادلة:

$$(25) \quad \alpha = \sqrt{2 \times 10^{-6} \left| \frac{dM}{dh} \right| \Delta h}$$

حيث  $dM/dh$  هي التدرج العمودي للانكسارية المعدلة ( $<0$ ) و  $\Delta h$  هي سُمك المجرى الذي يقابل ارتفاع ذروة المجرى فوق هوائي الإرسال.

يعطي الشكل 3 زاوية الارتفاع القصوى لكي "تحبس" أشعة في المجرى. وترتفع زاوية "الحبس" القصوى بسرعة مع مرور تدرجات الانكسارية تحت  $-157 \text{ N/km}$  (أي عندما ترتفع معدلات التغير) أو عندما يزيد سمك المجرى.

### 2.7 أدنى تردد "للحبس"

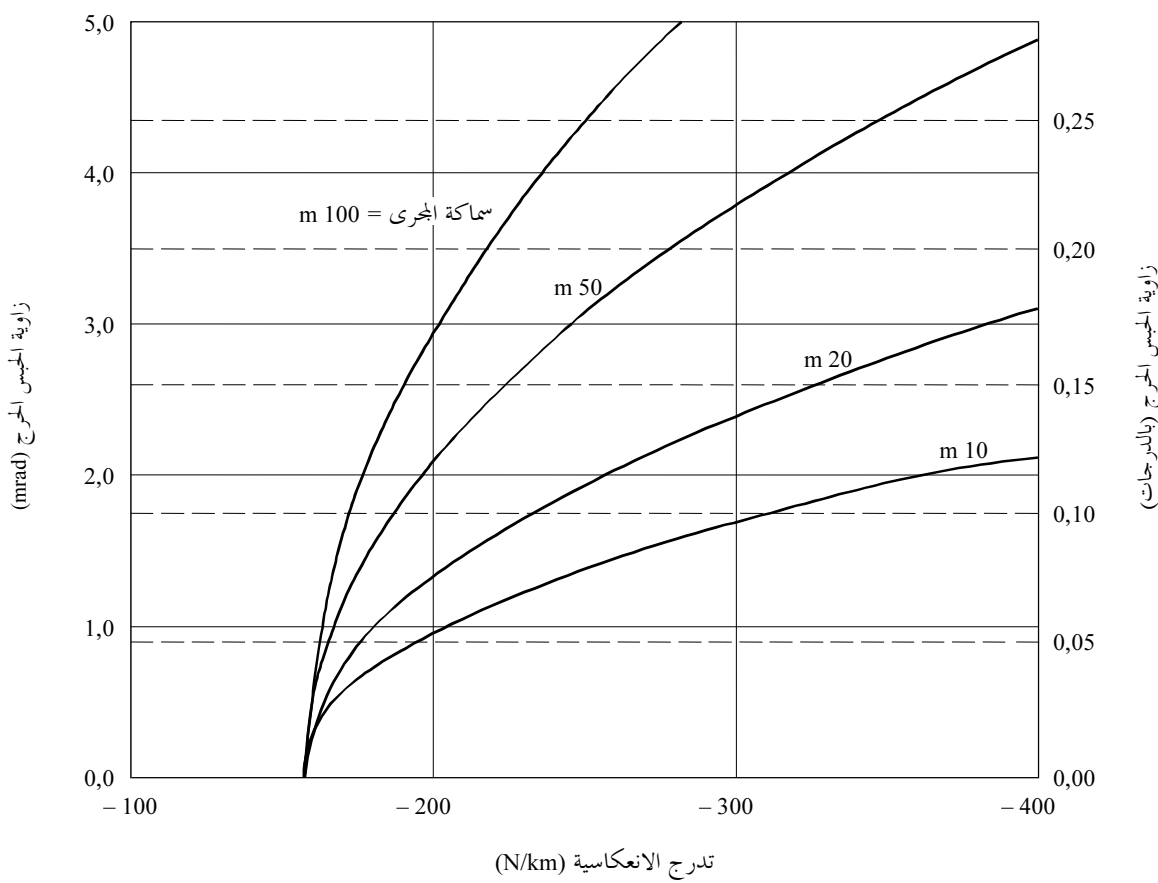
إن وجود مجاري، وإن كان في موقع جيد، لا يعني بالضرورة أن الطاقة ستُقْتَرَن بفعالية في المجرى بحيث يكون هناك انتشار على مسافات طويلة. بالإضافة إلى كون تردد الموجة يجب أن يحترم زاوية الارتفاع القصوى، فإنه يجب أن يكون أعلى من قيمة حرجة محددة بواسطة العمق المادي للمجرى والمظهر الجانبي للانكسارية. وتحت هذا التردد الأدنى للحبس، تكون هناك تسربات متزايدة للطاقة عبر حدود المجرى.

من الممكن تقدير التردد الأدنى لكي تحبس موجة في مجاري تروبوسفيري باستعمال تكامل للطور. وبين الشكل 4 تردد الحبس الأدنى لحار سطحية (المنحنيات المتصلة) حيث يتم افتراض أن تدرج انكساري ثابت (سالب) يمتد من السطح إلى ارتفاع معين، مع مظهر جانبي "معياري" فوق هذا الارتفاع. بالنسبة للتترددات المستعملة مع أنظمة الأرض (على العموم بين 8 و16 GHz)، يجب أن يكون للمجرى سمك أدنى بين حوالي 5 و15 m وتردد الحبس الأدنى  $f_{min}$  يتوقف كثيراً على سُمك المجرى وتدرج مؤشر الانكسار.

وفي حالة المجرى المروفة، تدخل في الاعتبار معلومة أخرى، حتى بالنسبة للحالة البسيطة المتعلقة بمظهر جانبي خطى للانكسارية. تأخذ هذه المعلومة في الاعتبار شكل المظهر الجانبي لمؤشر الانكسار تحت تدرج المجرى. تدل المنحنيات المتقطعة في الشكل 4 على تردد الحبس الأدنى لمجرى ذي تدرج ثابت يقع فوق طبقة سطحية ذات تدرج انكساري معياري لا يقل عن  $-40 \text{ N/km}$ .

الشكل 3

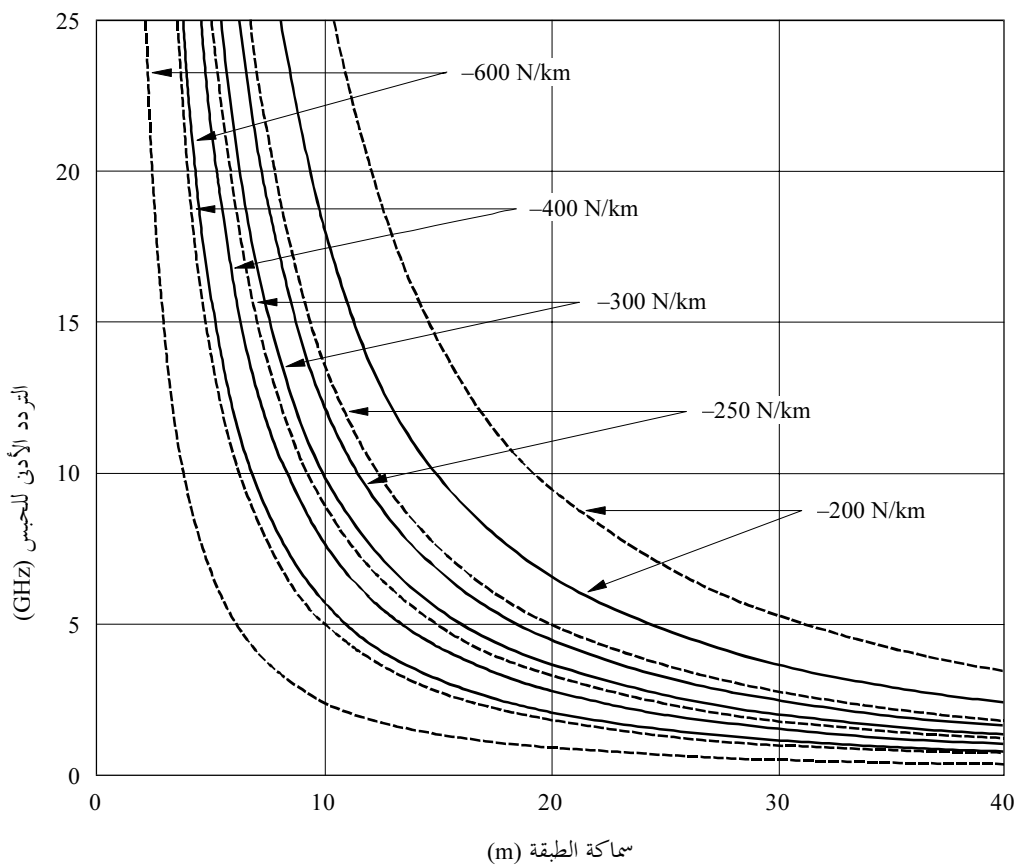
الزاوية القصوى للحبس مجرى سطحي له تدرج انكسارية ثابت  
فوق أرض كروية



وبالنسبة لطبقات لها معدلات تغير أعلى بقدر بسيط من الحد الأدنى المطلوب لوجود انتشار عبر المجرى، يكون تردد الحبس الأدنى في الواقع أعلى من التردد الملاحظ في حالة مجرى سطحي. وبالنسبة لتدرجات مجرى مهمة جداً، وحتى يكون هناك حبس في المجرى المرفوع، لا بد من طبقة أرق بكثير مما هو الحال في المجرى السطحي لتدرج مكافئ بالنسبة لأي تردد.

الشكل 4

التردد الأدنى للجيس في مجاري راديوية جوية  
لتدرجات الانكسارية الثابتة



مجار قائم على السطح  
مجار مرفوعة فوق المظهر الجانبي المعياري للانكسارية

0834-04